

Electronic supplementary information for

An Organic-Inorganic Hybrid Exhibiting Electrical Conduction and Single-Ion-Magnetism

Yongbing Shen, *,† Goulven Cosquer, *,† Hiroshi Ito, ‡ David Chukwuma Izuogu, ‡,§ Alex J.W. Thom,
‡ Toshiaki Ina, † Tomoya Uruga, † Takefumi Yoshida, † Shinya Takaishi, † Brian K. Breedlove, † Zhao-
Yang Li, ⊖ and Masahiro Yamashita*, ⊖,¶,†

† Department of Chemistry, Graduate School of Science, Tohoku University, 980-8578 Sendai, Japan

‡ Department of Applied Physics, Nagoya University, Chikusa-ku, Nagoya 464-603, Japan

‡ Department of Chemistry, University of Cambridge, Lensfield Road, Cambridge, CB2 1EW United
Kingdom

§ Department of Pure and Industrial Chemistry, University of Nigeria, Nsukka, 410001, Enugu State,
Nigeria

† Research & Utilization Division, Japan Synchrotron Radiation Research Institute, 1-1-1 Kouto, Sayo,
Sayou-gun, Hyogo 679-5198, Japan

† Electronic Functional Macromolecules Group, National Institute for Materials Science (NIMS),
Tsukuba 305-0044, Japan

⊖ School of Materials Science and Engineering, Nankai University, Tianjin 300350, China

¶ WPI-Advanced Institute for Materials Research (AIMR), Tohoku University, 2-1-1 Katahira, Aoba-
ku, Sendai 980-8577, Japan

* E-mail: yamasita@agnus.chem.tohoku.ac.jp

shenyongbing17@gmail.com

cosquer.goulven@gmail.com

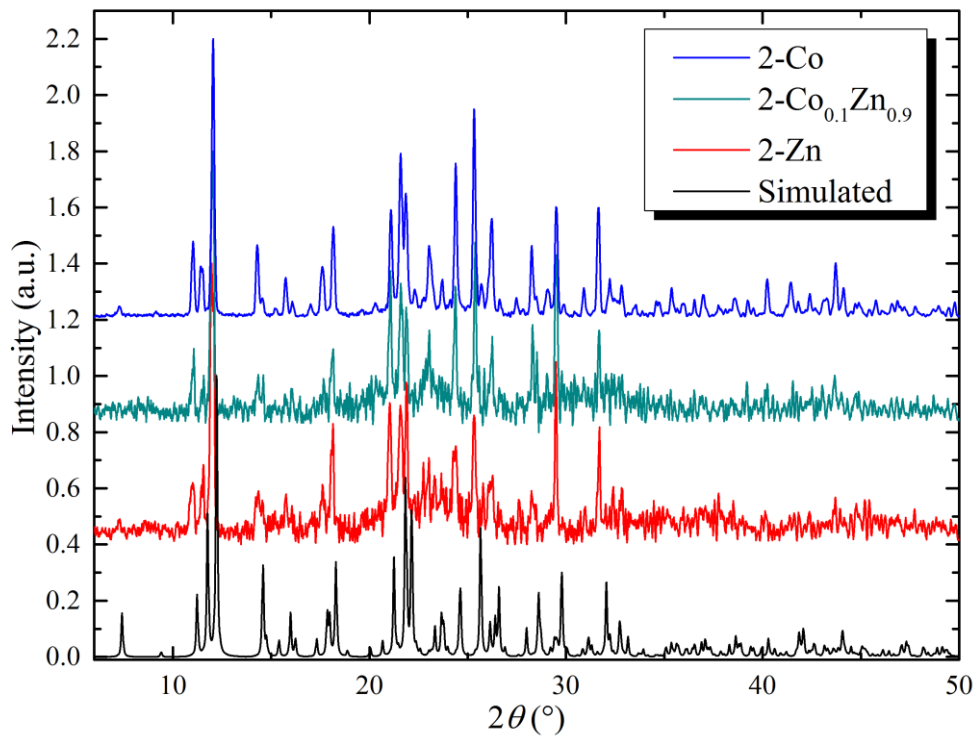


Figure S1. Experimental powder X-ray spectra of **2-Co**, **2-Co_{0.1}Zn_{0.9}**, **2-Zn** and simulated spectrum of **2-Co**.

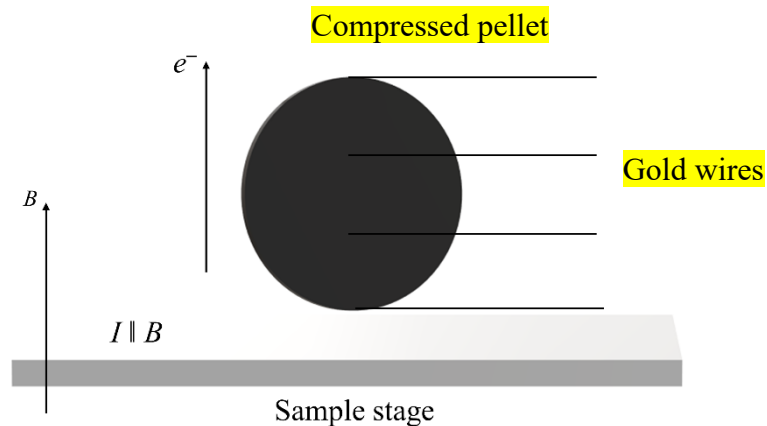


Figure S2. Measuring current and magnetic field direction geometry for the magnetoresistance measurement.

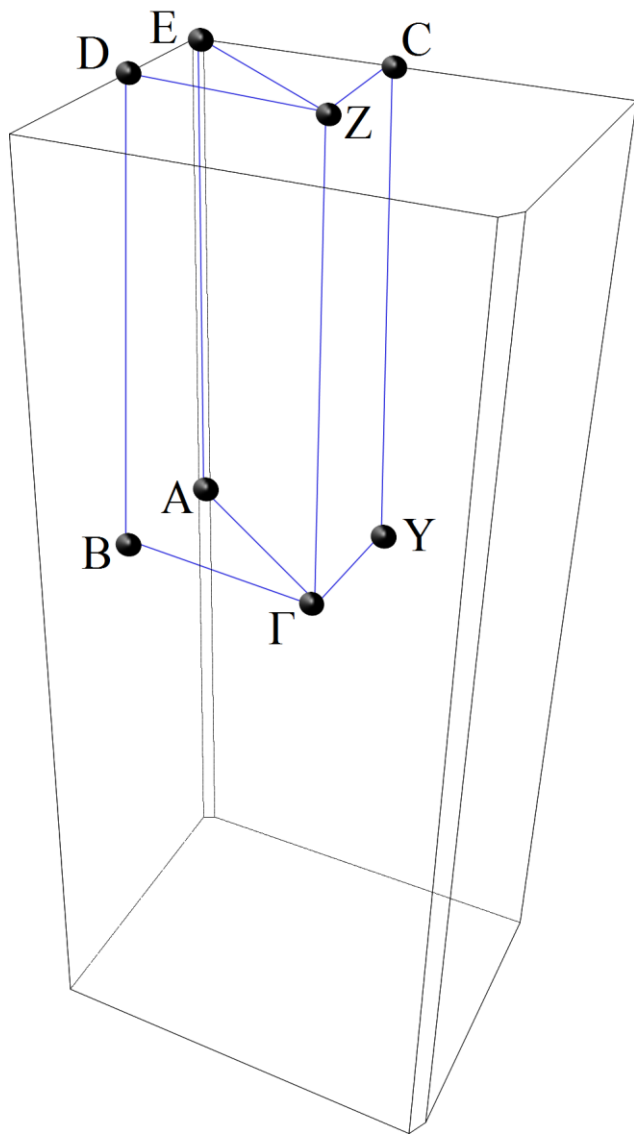


Figure S3. Brillouin zone of **2-Co** with the high symmetry point used for band structure calculations.

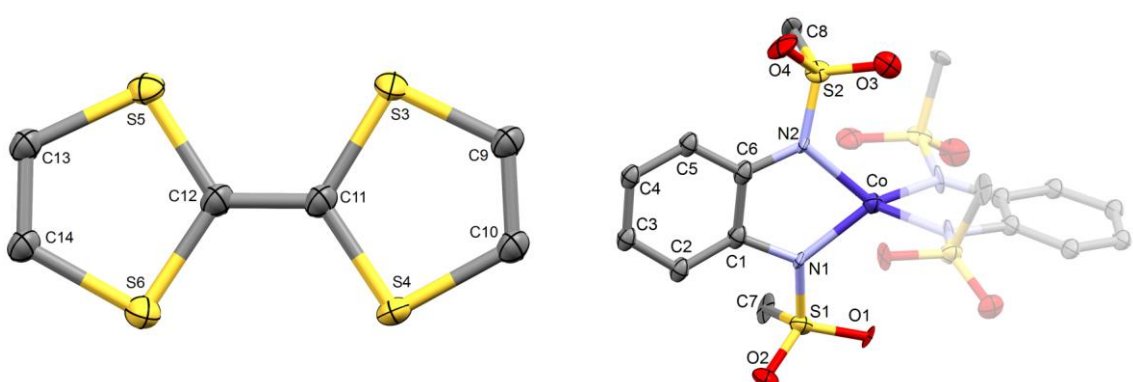


Figure S4. Asymmetric unit and atoms names of **2-Co**.

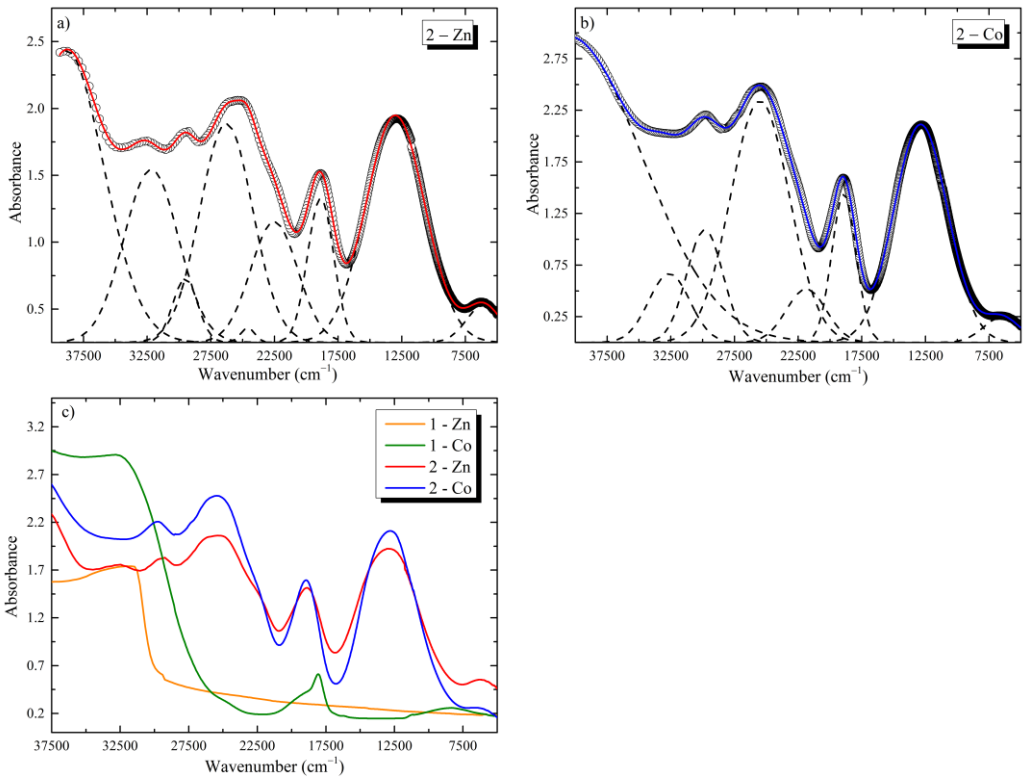


Figure S5. Deconvolution of solid-state UV-Visible spectrum of a) **2-Zn** and b) **2-Co**. The open circle are experimental data, and the solid line was fitted by summing Gaussian curves. c) Comparison of UV-Visible spectra between **1-Zn**, **1-Co**, **2-Zn** and **2-Co**.

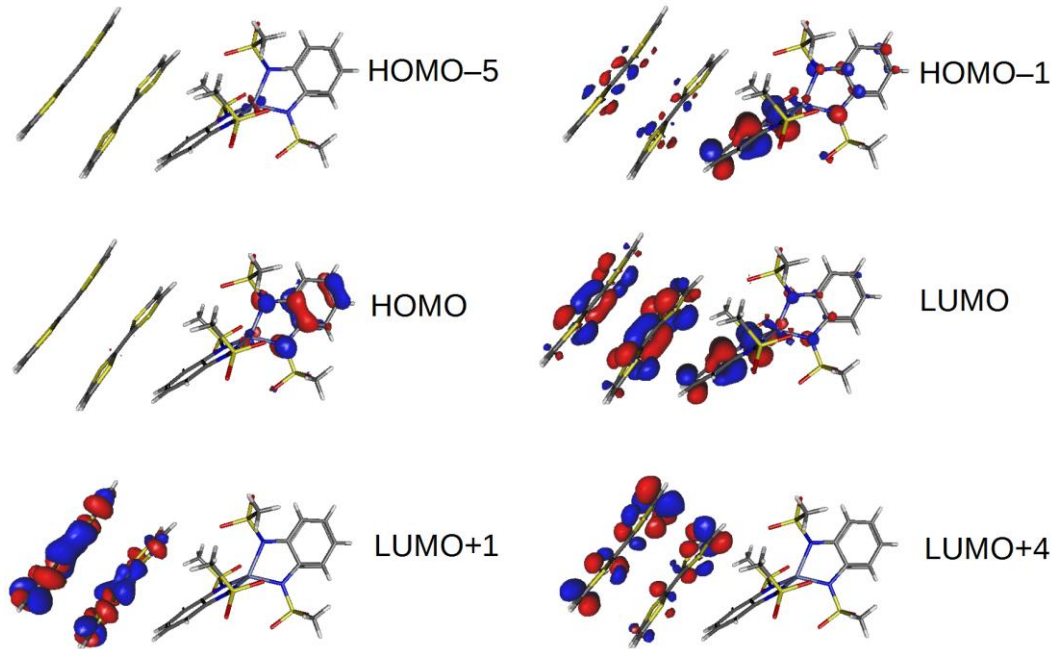


Figure S6. Representation of the main orbitals involved in the lowest energy transition.

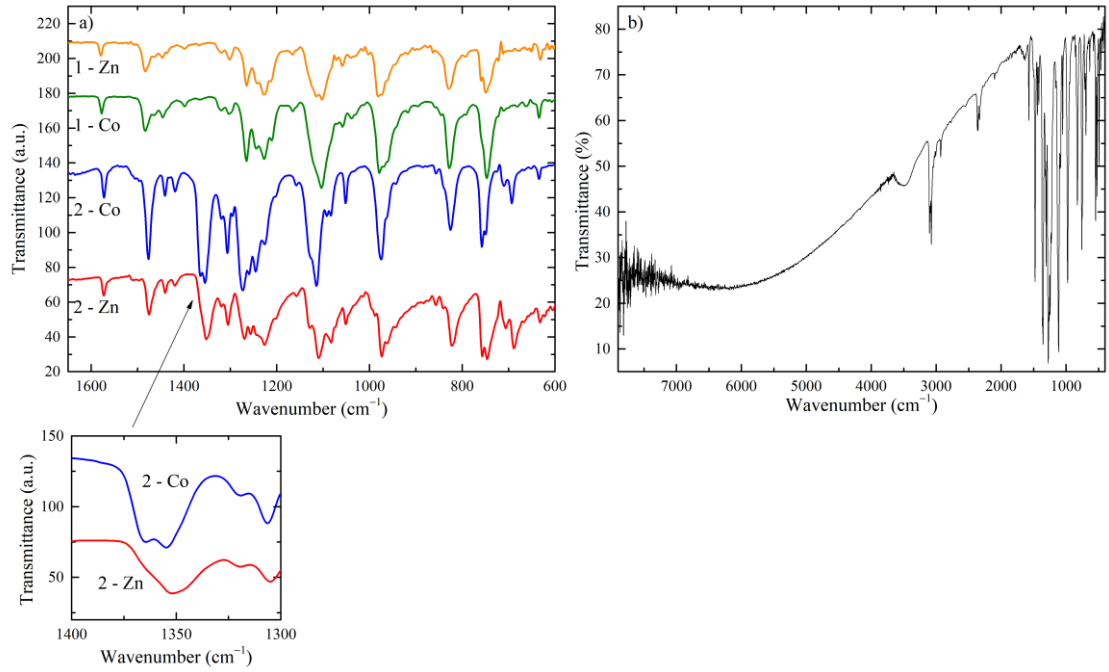


Figure S7. a) Comparison of the IR spectra between **1-Co**, **1-Zn**, **2-Co** and **2-Zn**; the transmittance of **2-Co** and **2-Zn** in the range of $1300\text{-}1400\text{ cm}^{-1}$. b) full range IR spectrum of **2-Co**.

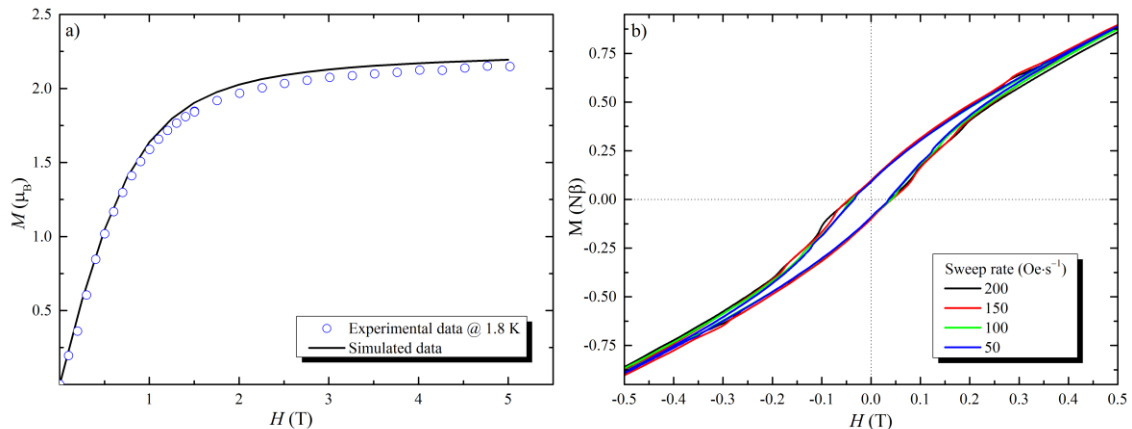


Figure S8. a) Static magnetisation of **2-Co** at 1.8 K and its simulation (see main text for parameters); b) magnetic hysteresis of **2-Co** at a 2.5 K at various sweep rates.

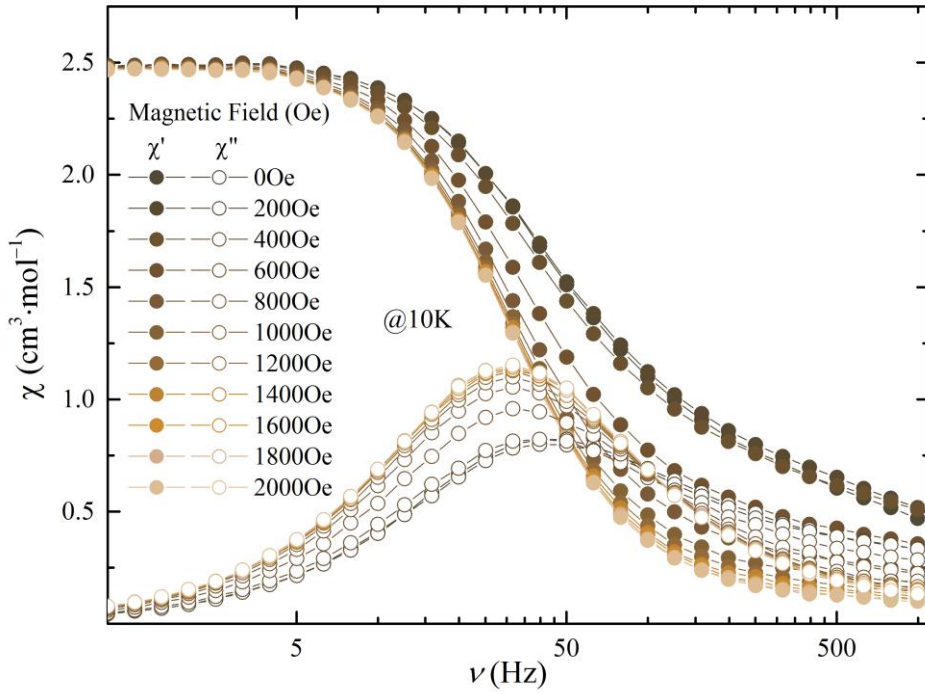


Figure S9. In-phase and out-of-phase signals of magnetic susceptibility of **2-Co** as a function of the oscillating field frequency and static magnetic field intensity.

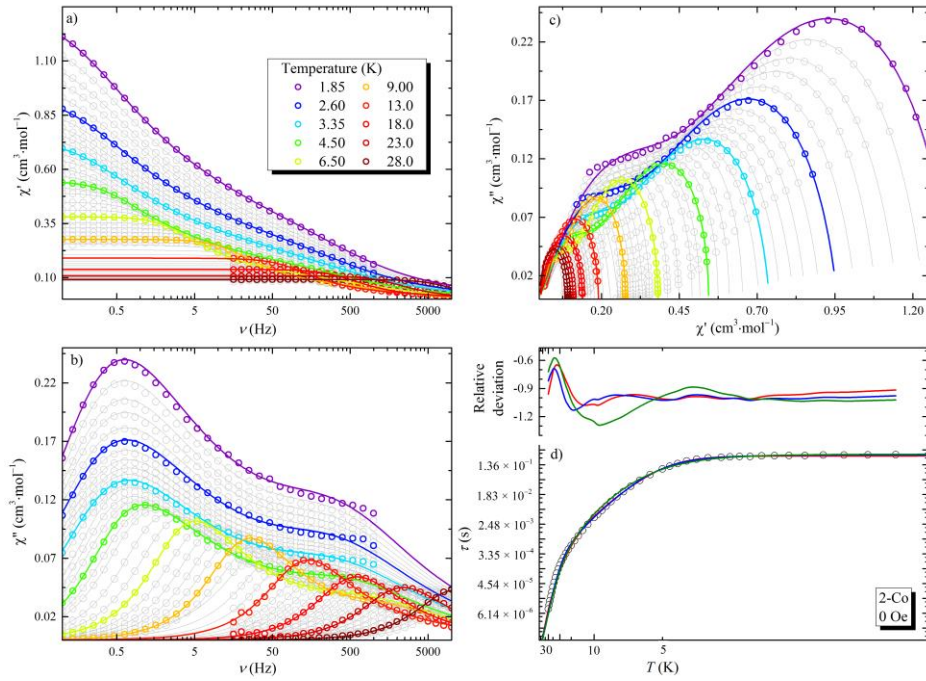


Figure S10. a) In-phase, b) out-of-phase and c) Argand plots and d) comparison of the various model possible for the fitting of the relaxation time for **2-Co** as a function of the temperature without an applied magnetic field. The line was fitted.

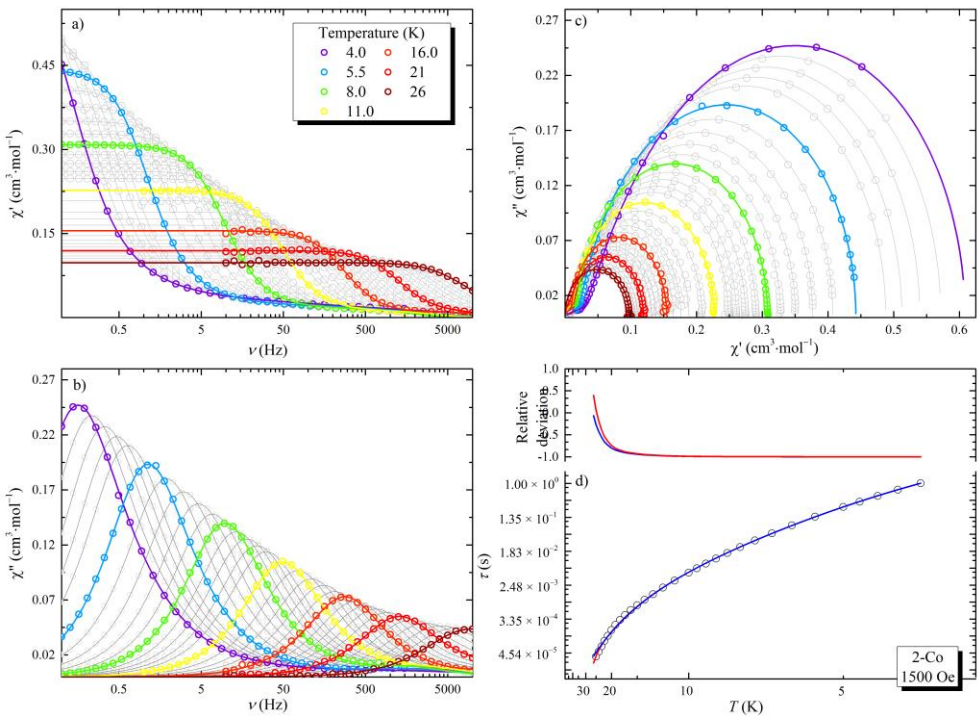


Figure S11. a) In-phase, b) out-of-phase and c) Argand plots and d) comparison of the various models possible for the fitting of the relaxation time for 2-Co as a function of the temperature in a 1500 Oe magnetic field. The line was fitted.

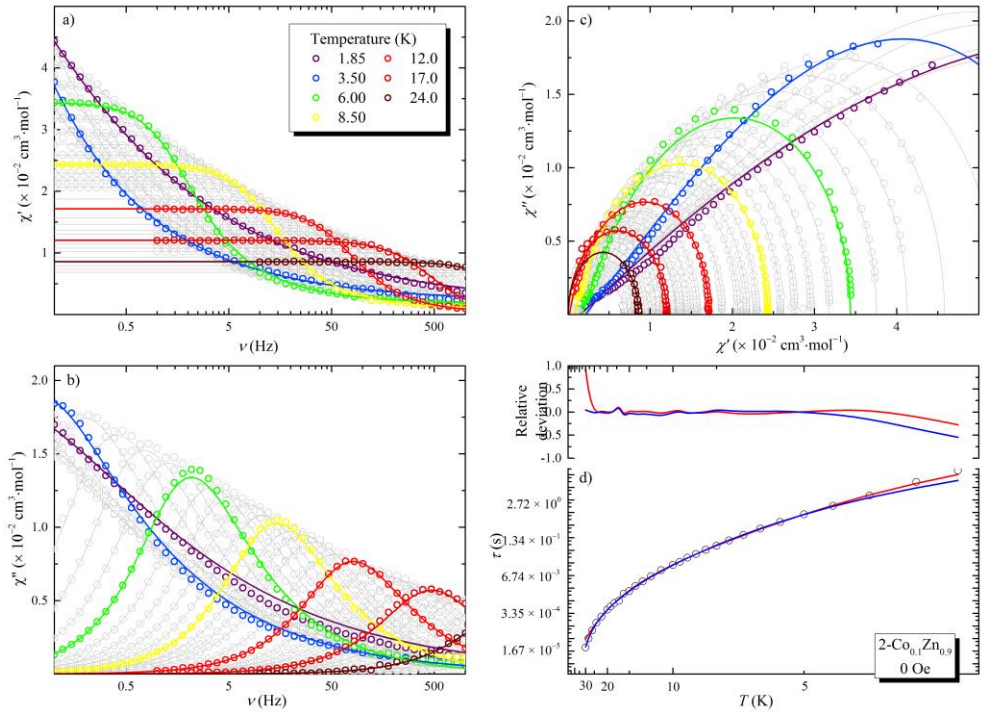


Figure S12. a) In-phase, b) out-of-phase and c) Argand plots and d) comparison of the various models possible for the fitting of the relaxation time for 2-Co_{0.1}Zn_{0.9} as a function of the temperature without magnetic field. The line was fitted.

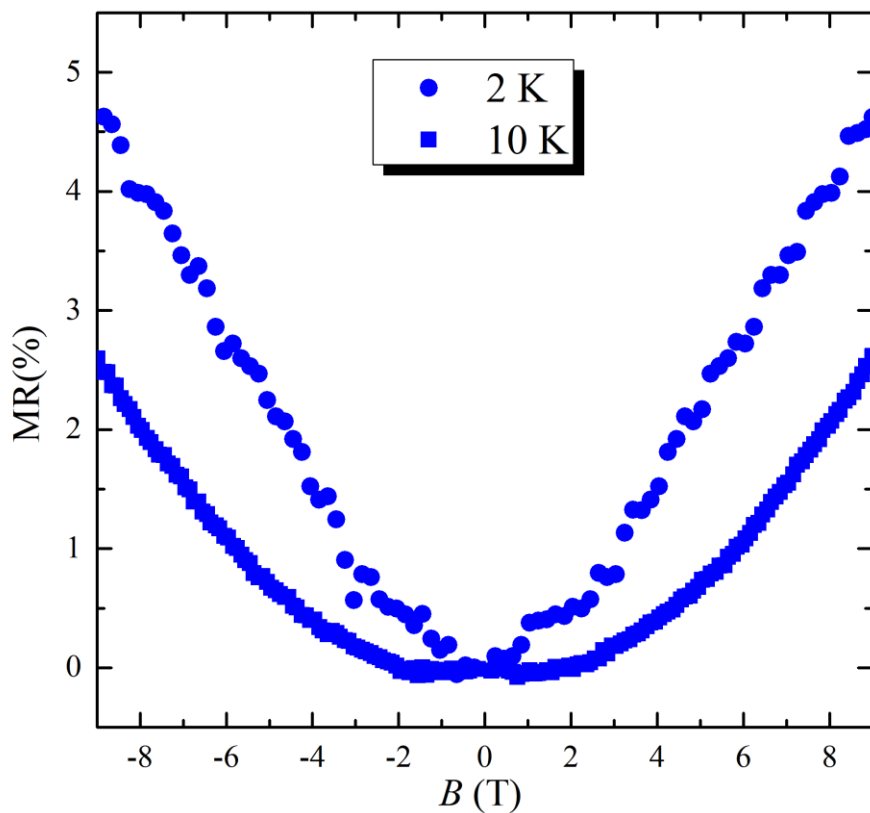


Figure S13. The magnetic field dependence of magnetoresistance of **2-Co** at 2K and 10 K.

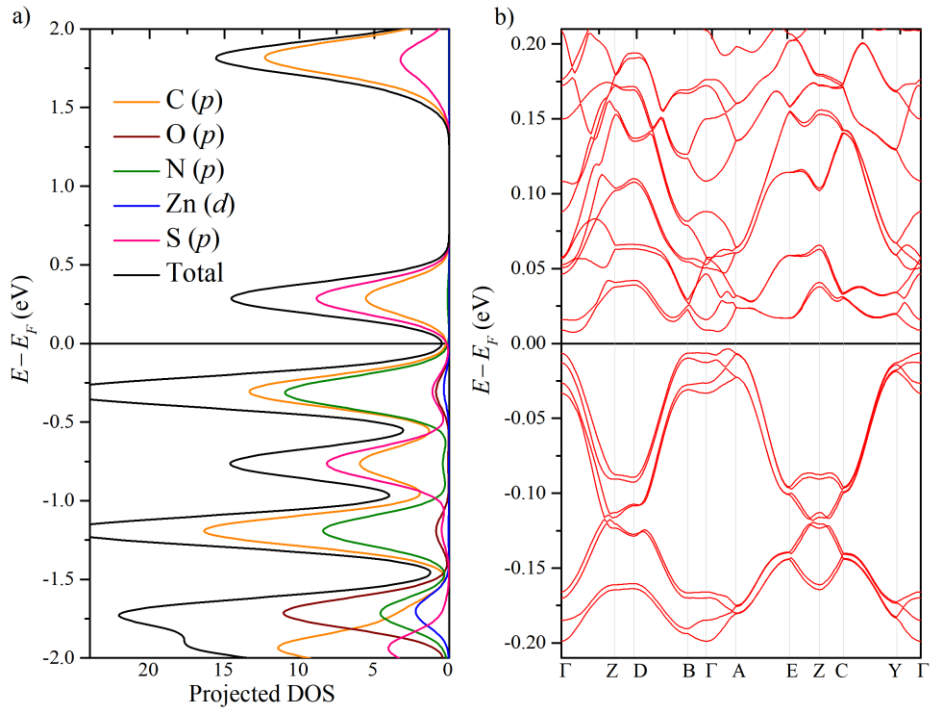


Figure S14. a) Projected DOS and b) band structure of **2-Zn**. High symmetry points in the crystal reciprocal lattice: $\Gamma = (0, 0, 0)$ $Z = (0, 0.5, 0)$ $D = (0, 0.5, 0.5)$ $B = (0, 0, 0.5)$ $A = (-0.5, 0, 0.5)$ $E = (-0.5, 0.5, 0.5)$ $C = (-0.5, 0.5, 0)$ $Y = (-0.5, 0, 0)$.

Table S1. Summary of the crystal data refine.

	2-Co	2-Zn
Empirical formula	C ₂₈ H ₂₈ CoN ₄ O ₈ S ₁₂	C ₂₈ H ₂₈ N ₄ O ₈ S ₁₂ Zn
Formula weight	992.26	998.71
Crystal system	Monoclinic	Monoclinic
Space group	C2/c	C2/c
<i>a</i> (Å)	23.8351(4)	23.7782(6)
<i>b</i> (Å)	8.36310(10)	8.3514(2)
<i>c</i> (Å)	18.7468(4)	18.7652(5)
α (°)	90	90
β (°)	92.320(2)	92.829(2)
γ (°)	90	90
<i>V</i> (Å ³)	3733.84(11)	3721.88(16)
<i>Z</i>	4	4
λ (Å)	0.68890	0.68890
<i>T</i> (K)	100	100
2 <i>θ</i> range (°)	2.7570–33.6240	2.011–33.652
Index ranges	−36 ≤ <i>h</i> ≤ 35	−37 ≤ <i>h</i> ≤ 37
	−12 ≤ <i>k</i> ≤ 12	−13 ≤ <i>k</i> ≤ 13
	−28 ≤ <i>l</i> ≤ 27	−28 ≤ <i>l</i> ≤ 28
No. measured reflections	6748	7353
No. refined parameters	240	240
Goodness-of-fit on <i>F</i> 2, <i>S</i>	1.257	0.811
<i>R</i> 1; w <i>R</i> 2 (%)	5.34; 14.19	4.30; 7.04

Table S2. Summary of the short contacts and hydrogen bonds in Å (VdW = sum of the van der Waals radius).

Short contacts				Hydrogen bonds			
Atom1	Atom2	Length	Length–VdW	Atom1	Atom2	Length	Length–VdW
S3	S6	3.417	-0.183	O2	S3	2.593	-0.367
S4	S5	3.271	-0.329	O4	S4	2.806	-0.514
S3	O2	2.953	-0.367				
S4	O4	2.806	-0.514				
S5	C4	3.465	-0.035				
S5	C5	3.230	-0.270				
O1	C13	2.947	-0.273				
O1	C14	2.965	-0.255				
O2	C9	2.887	-0.333				
O3	C9	3.199	-0.021				
O4	C10	3.025	-0.193				
C4	C12	3.327	-0.073				
C7	C10	3.357	-0.043				
C11	C12	3.323	-0.077				

Table S3. Summary of the magnetic data for **1-Co** (from Ref 24) and **2-Co**.

	1-Co	2-Co
χT	$3.14 \text{ cm}^3 \cdot \text{K} \cdot \text{mol}^{-1}$	$3.16 \text{ cm}^3 \cdot \text{K} \cdot \text{mol}^{-1}$
M at 1.8 K	$2.56\mu_{\text{B}}$ (at 7 T)	$2.14\mu_{\text{B}}$ (at 5 T)
D	-115 cm^{-1}	-112.39 cm^{-1}
g_{\perp}	2.20	2.28
g_{\parallel}	3.03	2.93

Table S4. Summary of the equation used for fitting the relaxation times of **2-Co**.

Two relaxation time Havriliak-Negami model		$\chi = \chi_{adia} + \frac{\chi_{iso1}}{(1 + (i\omega\tau_1)^{1-\alpha_1})^{\beta_1}} + \frac{\chi_{iso2}}{(1 + (i\omega\tau_2)^{1-\alpha_2})^{\beta_2}}$
0 Oe	Model 1 & Model 2	$\tau^{-1} = CT^m + \tau_{0_1}^{-1} \exp\left(\frac{-\Delta_1}{k_B T}\right) + QTM$
	Model 3	$\tau^{-1} = CT^m + \tau_{0_1}^{-1} \exp\left(\frac{-\Delta_1}{k_B T}\right) + \tau_{0_2}^{-1} \exp\left(\frac{-\Delta_2}{k_B T}\right) + QTM$
1500 Oe	Model 4	$\tau^{-1} = CT^m + \tau_{0_1}^{-1} \exp\left(\frac{-\Delta_1}{k_B T}\right)$
	Model 5	$\tau^{-1} = CT^m + \tau_{0_1}^{-1} \exp\left(\frac{-\Delta_1}{k_B T}\right) + \tau_{0_2}^{-1} \exp\left(\frac{-\Delta_2}{k_B T}\right)$

Table S5. Summary of the relaxation time fitting parameters of **2-Co** according to the model described in **Table S4**.

		Raman		First Orbach		Second Orbach		QTM	Adj. R-Square
		C	m	Δ_1	τ_{0_1}	Δ_2	τ_{0_2}		
		$s^{-1}K^{-m}$		cm^{-1}	s	cm^{-1}	s		
2-Co @ 0 Oe	Model 1	2.35×10^{-5}	6.59	24.1	2.08×10^{-4}			2.44×10^{-1}	0.99832
	Model 2	2.05×10^{-3}	5			151.9	5.72×10^{-9}	2.75×10^{-1}	0.99601
	Model 3	1.11×10^{-3}	5	28.8	1.11×10^{-4}	151.9	5.72×10^{-9}	2.62×10^{-1}	0.99961
2-Co @ 1500 Oe	Model 4	3.88×10^{-4}	5.53	27.0	3.57×10^{-4}				0.99993
	Model 5	3.98×10^{-4}	5.51	27.2	3.42×10^{-4}	365.2	1.19×10^{-13}		0.99993
2-Co _{0.1} Zn _{0.9} @ 0 Oe	Model 4	1.48×10^{-4}	5.83	27.3	2.83×10^{-4}				0.99687
	Model 5	3.82×10^{-4}	5.5	32.8	1.59×10^{-4}	294.8	1.1×10^{-11}		0.99826

Table S6. Summary of the parameters obtained for **2-Co** without an external magnetic field from the two-relaxation time Havriliak-Negami model. X_{adia} was fixed to zero, and β of the second peak was fixed to 1 to avoid overparameterisation.

T (K)	First peak								Second peak								Reduced Chi-Sqr	Adj. R-Square		
	$\chi_{\text{iso}}^{\text{iso}}$ (cm ³ ·mol ⁻¹)	$\chi_{\text{iso}}^{\text{iso}}$ (cm ³ ·mol ⁻¹)	β	β	α	α	τ (s)	τ (s)	$\tau_{\text{corrected}}$ (s)	$\chi_{\text{iso}}^{\text{iso}}$ (cm ³ ·mol ⁻¹)	$\chi_{\text{iso}}^{\text{iso}}$ (cm ³ ·mol ⁻¹)	α	α	τ (s)	τ (s)	$\tau_{\text{corrected}}$ (s)				
	Value	Standard error	Value	Standard error	Value	Standard error	Value	Standard error		Value	Standard error	Value	Standard error	Value	Standard error					
1.85	1.07×10^0	5.37×10^{-2}	3.75×10^{-1}	5.25×10^{-2}	2.24×10^{-1}	2.85×10^{-2}	8.12×10^{-1}	9.11×10^{-2}	2.66×10^{-1}	2.58×10^{-2}	3.98×10^{-1}	5.89×10^{-2}	3.94×10^{-4}	1.80×10^{-5}	3.94×10^{-4}	8.19×10^{-6}	0.99992			
2.00	9.96×10^{-1}	5.22×10^{-2}	3.74×10^{-1}	5.46×10^{-2}	2.25×10^{-1}	2.96×10^{-2}	8.05×10^{-1}	9.43×10^{-2}	2.63×10^{-1}	2.38×10^{-2}	3.94×10^{-1}	6.24×10^{-2}	3.93×10^{-4}	1.82×10^{-5}	3.93×10^{-4}	7.90×10^{-6}	0.99991			
2.15	9.24×10^{-1}	4.87×10^{-2}	3.77×10^{-1}	5.54×10^{-2}	2.28×10^{-1}	2.94×10^{-2}	7.89×10^{-1}	9.39×10^{-2}	2.59×10^{-1}	2.26×10^{-1}	5.39×10^{-2}	3.98×10^{-1}	6.08×10^{-2}	3.88×10^{-4}	1.80×10^{-5}	3.88×10^{-4}	6.57×10^{-6}	0.99991		
2.30	8.72×10^{-1}	4.59×10^{-2}	3.63×10^{-1}	4.98×10^{-2}	2.13×10^{-1}	2.74×10^{-2}	8.07×10^{-1}	8.57×10^{-2}	2.60×10^{-1}	2.10×10^{-1}	5.02×10^{-2}	4.01×10^{-1}	6.10×10^{-2}	4.05×10^{-4}	1.83×10^{-5}	4.05×10^{-4}	5.50×10^{-6}	0.99992		
2.45	8.16×10^{-1}	4.91×10^{-2}	3.74×10^{-1}	6.06×10^{-2}	2.27×10^{-1}	3.16×10^{-2}	7.74×10^{-1}	1.01×10^{-1}	2.52×10^{-1}	2.01×10^{-1}	5.39×10^{-2}	4.02×10^{-1}	6.78×10^{-2}	3.91×10^{-4}	2.03×10^{-5}	3.91×10^{-4}	6.08×10^{-6}	0.99990		
2.60	7.68×10^{-1}	4.71×10^{-2}	3.70×10^{-1}	6.15×10^{-2}	2.21×10^{-1}	3.31×10^{-2}	7.70×10^{-1}	1.02×10^{-1}	2.50×10^{-1}	1.89×10^{-1}	5.16×10^{-2}	3.91×10^{-1}	7.11×10^{-2}	3.91×10^{-4}	2.01×10^{-5}	3.92×10^{-4}	6.46×10^{-6}	0.99988		
2.75	7.18×10^{-1}	4.50×10^{-2}	3.68×10^{-1}	6.15×10^{-2}	2.10×10^{-1}	3.34×10^{-2}	7.57×10^{-1}	9.90×10^{-2}	2.49×10^{-1}	1.85×10^{-1}	4.93×10^{-2}	3.97×10^{-1}	6.85×10^{-2}	3.94×10^{-4}	2.09×10^{-5}	3.94×10^{-4}	5.79×10^{-6}	0.99988		
2.90	6.84×10^{-1}	3.89×10^{-2}	3.60×10^{-1}	5.27×10^{-2}	2.02×10^{-1}	2.91×10^{-2}	7.50×10^{-1}	8.42×10^{-2}	2.44×10^{-1}	1.72×10^{-1}	4.23×10^{-2}	3.99×10^{-1}	6.33×10^{-2}	3.88×10^{-4}	1.85×10^{-5}	3.88×10^{-4}	4.14×10^{-6}	0.99991		
3.05	6.50×10^{-1}	4.13×10^{-2}	3.74×10^{-1}	6.44×10^{-2}	2.14×10^{-1}	3.40×10^{-2}	7.02×10^{-1}	9.69×10^{-2}	2.34×10^{-1}	1.67×10^{-1}	4.52×10^{-2}	3.92×10^{-1}	6.98×10^{-2}	3.72×10^{-4}	2.03×10^{-5}	3.72×10^{-4}	5.15×10^{-6}	0.99987		
3.20	6.18×10^{-1}	3.40×10^{-2}	3.46×10^{-1}	4.68×10^{-2}	1.75×10^{-1}	2.72×10^{-2}	7.20×10^{-1}	7.12×10^{-2}	2.36×10^{-1}	1.56×10^{-1}	3.67×10^{-2}	3.97×10^{-1}	6.12×10^{-2}	3.86×10^{-4}	1.78×10^{-5}	3.86×10^{-4}	3.39×10^{-6}	0.99991		
3.35	5.93×10^{-1}	2.98×10^{-2}	3.34×10^{-1}	4.09×10^{-2}	1.56×10^{-1}	2.52×10^{-2}	7.05×10^{-1}	6.10×10^{-2}	2.30×10^{-1}	1.45×10^{-1}	3.21×10^{-2}	3.88×10^{-1}	5.91×10^{-2}	3.77×10^{-4}	1.60×10^{-5}	3.77×10^{-4}	2.99×10^{-6}	0.99991		
3.50	5.68×10^{-1}	2.71×10^{-2}	3.29×10^{-1}	3.76×10^{-2}	1.39×10^{-1}	2.38×10^{-2}	6.72×10^{-1}	5.34×10^{-2}	2.22×10^{-1}	1.38×10^{-1}	2.90×10^{-2}	3.84×10^{-1}	5.67×10^{-2}	3.68×10^{-4}	1.50×10^{-5}	3.68×10^{-4}	2.70×10^{-6}	0.99992		
3.75	5.15×10^{-1}	7.47×10^{-2}	2.97×10^{-1}	9.04×10^{-2}	2.97×10^{-2}	5.97×10^{-2}	1.08×10^{-1}	2.15×10^{-1}	1.39×10^{-1}	7.91×10^{-2}	4.07×10^{-1}	1.49×10^{-1}	3.73×10^{-2}	6.26×10^{-3}	3.73×10^{-4}	2.63×10^{-5}	3.73×10^{-4}	0.99911		
4.00	5.17×10^{-1}	1.45×10^{-2}	2.58×10^{-1}	1.05×10^{-2}	0	fixed	5.91×10^{-1}	1.59×10^{-2}	1.97×10^{-1}	9.29×10^{-2}	1.41×10^{-2}	3.05×10^{-1}	5.33×10^{-2}	3.64×10^{-4}	1.58×10^{-5}	3.64×10^{-4}	3.01×10^{-6}	0.99989		
4.25	4.80×10^{-1}	9.67×10^{-3}	2.73×10^{-1}	8.12×10^{-3}	0	fixed	4.98×10^{-1}	9.91×10^{-3}	1.75×10^{-1}	9.44×10^{-2}	3.23×10^{-1}	3.44×10^{-2}	8.12×10^{-3}	8.59×10^{-6}	3.12×10^{-4}	8.59×10^{-6}	1.46×10^{-6}	0.99994		
4.50	4.46×10^{-1}	6.17×10^{-3}	2.94×10^{-1}	6.13×10^{-3}	0	fixed	3.89×10^{-1}	5.50×10^{-3}	1.45×10^{-1}	9.83×10^{-2}	6.08×10^{-3}	3.35×10^{-1}	2.14×10^{-2}	2.71×10^{-4}	6.05×10^{-6}	2.71×10^{-4}	7.36×10^{-7}	0.99997		
4.75	4.11×10^{-1}	4.76×10^{-3}	3.20×10^{-1}	5.59×10^{-3}	0	fixed	3.06×10^{-1}	3.64×10^{-3}	1.22×10^{-1}	1.05×10^{-1}	4.70×10^{-2}	3.57×10^{-1}	1.56×10^{-2}	2.45×10^{-4}	6.09×10^{-6}	2.45×10^{-4}	5.11×10^{-7}	0.99998		
5.0	3.81×10^{-1}	4.23×10^{-3}	3.50×10^{-1}	5.85×10^{-3}	0	fixed	2.35×10^{-1}	2.68×10^{-3}	1.02×10^{-1}	1.10×10^{-1}	4.20×10^{-3}	3.76×10^{-1}	1.34×10^{-2}	2.30×10^{-4}	6.93×10^{-6}	2.30×10^{-4}	4.46×10^{-7}	0.99998		
5.5	3.31×10^{-1}	3.11×10^{-3}	4.12×10^{-1}	5.57×10^{-3}	0	fixed	1.41×10^{-1}	1.28×10^{-3}	6.94×10^{-2}	1.17×10^{-1}	4.17×10^{-3}	3.14×10^{-2}	9.19×10^{-3}	2.15×10^{-4}	7.47×10^{-6}	2.15×10^{-4}	2.20×10^{-7}	0.99999		
6.0	3.03×10^{-1}	1.88×10^{-3}	4.58×10^{-1}	4.21×10^{-3}	0	fixed	8.71×10^{-2}	5.49×10^{-4}	4.68×10^{-2}	1.09×10^{-1}	1.89×10^{-2}	3.88×10^{-1}	6.74×10^{-3}	1.87×10^{-4}	4.36×10^{-6}	1.87×10^{-4}	1.03×10^{-7}	0.99999		
6.5	2.78×10^{-1}	2.12×10^{-3}	5.01×10^{-1}	4.40×10^{-3}	0	fixed	5.51×10^{-2}	4.05×10^{-4}	3.19×10^{-2}	1.03×10^{-1}	2.15×10^{-3}	3.99×10^{-1}	8.12×10^{-3}	1.65×10^{-4}	5.34×10^{-6}	1.65×10^{-4}	1.06×10^{-7}	0.99999		
7.0	2.66×10^{-1}	2.04×10^{-3}	5.18×10^{-1}	6.01×10^{-3}	0	fixed	3.69×10^{-2}	2.90×10^{-4}	2.19×10^{-2}	8.84×10^{-2}	2.06×10^{-3}	3.36×10^{-1}	1.06×10^{-2}	1.40×10^{-4}	4.09×10^{-6}	1.40×10^{-4}	1.28×10^{-7}	0.99999		
7.5	2.48×10^{-1}	2.87×10^{-3}	5.54×10^{-1}	9.21×10^{-3}	0	fixed	2.49×10^{-2}	2.74×10^{-4}	1.56×10^{-2}	8.34×10^{-2}	2.90×10^{-3}	3.45×10^{-1}	1.54×10^{-2}	1.28×10^{-4}	6.08×10^{-6}	1.28×10^{-4}	1.84×10^{-7}	0.99999		
8.0	2.39×10^{-1}	2.69×10^{-3}	5.60×10^{-1}	9.29×10^{-3}	0	fixed	1.78×10^{-2}	1.93×10^{-4}	1.13×10^{-2}	7.14×10^{-2}	2.71×10^{-3}	2.96×10^{-1}	1.87×10^{-2}	1.08×10^{-4}	4.62×10^{-6}	1.08×10^{-4}	1.71×10^{-7}	0.99999		
8.5	2.28×10^{-1}	2.53×10^{-3}	5.82×10^{-1}	9.74×10^{-3}	0	fixed	1.27×10^{-2}	1.37×10^{-4}	8.29×10^{-3}	6.44×10^{-2}	2.53×10^{-3}	2.47×10^{-1}	2.07×10^{-2}	1.01×10^{-4}	3.82×10^{-6}	1.01×10^{-4}	1.59×10^{-7}	0.99999		
9.0	2.21×10^{-1}	2.91×10^{-3}	5.85×10^{-1}	1.14×10^{-2}	0	fixed	9.51×10^{-3}	1.16×10^{-4}	6.22×10^{-3}	5.54×10^{-2}	2.91×10^{-3}	2.25×10^{-1}	2.90×10^{-2}	8.67×10^{-4}	3.86×10^{-6}	8.67×10^{-5}	1.71×10^{-7}	0.99998		
9.5	2.10×10^{-1}	1.25×10^{-2}	6.09×10^{-1}	5.44×10^{-2}	0	fixed	7.03×10^{-3}	3.84×10^{-4}	1.25×10^{-1}	2.64×10^{-2}	5.49×10^{-1}	1.20×10^{-2}	3.58×10^{-4}	2.91×10^{-6}	5.38×10^{-5}	5.38×10^{-5}	9.88×10^{-7}	0.99961		
10	1.34×10^{-1}	1.91×10^{-2}	8.43×10^{-1}	9.27×10^{-2}	0	fixed	4.40×10^{-3}	4.24×10^{-4}	3.85											

Table S7. Summary of the parameters obtained for **2-Co** in a 1500 Oe external magnetic field from two relaxation time Havriliak-Negami model. X_{adia} was fixed to zero, and β of the second peak was fixed to 1 to avoid overparameterisation.

T (K)	First peak								Second peak								Reduced Chi-Sqr	Adj. R-Square		
	$\chi_{\text{iso}}^{\text{obs}}$ (cm ³ ·mol ⁻¹)	$\chi_{\text{iso}}^{\text{cal}}$ (cm ³ ·mol ⁻¹)	β	β	α	α	τ (s)	τ (s)	$\tau_{\text{corrected}}$ (s)	$\chi_{\text{iso}}^{\text{obs}}$ (cm ³ ·mol ⁻¹)	$\chi_{\text{iso}}^{\text{cal}}$ (cm ³ ·mol ⁻¹)	α	α	τ (s)	τ (s)	$\tau_{\text{corrected}}$ (s)				
	Value	Standard error	Value	Standard error	Value	Standard error	Value	Standard error		Value	Standard error	Value	Standard error	Value	Standard error					
4.00	5.76 × 10 ⁻¹	2.84 × 10 ⁻³	7.32 × 10 ⁻¹	1.40 × 10 ⁻²	6.36 × 10 ⁻³	8.99 × 10 ⁻³	1.29 × 10 ⁰	1.73 × 10 ⁻²	1.01 × 10 ⁰	3.34 × 10 ⁻²	2.02 × 10 ⁻³	5.96 × 10 ⁻¹	3.55 × 10 ⁻²	2.41 × 10 ⁻⁴	6.61 × 10 ⁻⁵	2.41 × 10 ⁻⁵	7.86 × 10 ⁻⁷	0.99992		
4.25	5.43 × 10 ⁻¹	1.71 × 10 ⁻³	7.49 × 10 ⁻¹	4.49 × 10 ⁻³	0.00 × 10 ⁰	fixed	8.65 × 10 ⁻¹	7.03 × 10 ⁻³	6.90 × 10 ⁻¹	2.91 × 10 ⁻²	1.16 × 10 ⁻³	4.93 × 10 ⁻¹	4.17 × 10 ⁻²	1.68 × 10 ⁻⁴	2.60 × 10 ⁻⁵	1.68 × 10 ⁻⁵	1.28 × 10 ⁻⁶	0.99989		
4.50	5.14 × 10 ⁻¹	8.99 × 10 ⁻⁴	7.68 × 10 ⁻¹	2.96 × 10 ⁻³	0.00 × 10 ⁰	fixed	5.86 × 10 ⁻¹	2.98 × 10 ⁻³	4.76 × 10 ⁻¹	2.61 × 10 ⁻²	6.06 × 10 ⁻⁴	4.08 × 10 ⁻¹	3.20 × 10 ⁻²	1.32 × 10 ⁻⁴	1.14 × 10 ⁻⁵	1.32 × 10 ⁻⁵	6.39 × 10 ⁻⁷	0.99995		
4.75	4.88 × 10 ⁻¹	7.82 × 10 ⁻⁴	7.84 × 10 ⁻¹	3.04 × 10 ⁻³	0.00 × 10 ⁰	fixed	4.12 × 10 ⁻¹	2.03 × 10 ⁻³	3.41 × 10 ⁻¹	2.42 × 10 ⁻²	5.55 × 10 ⁻⁴	3.64 × 10 ⁻¹	3.58 × 10 ⁻²	1.11 × 10 ⁻⁴	9.34 × 10 ⁻⁶	1.11 × 10 ⁻⁵	6.47 × 10 ⁻⁷	0.99996		
5.0	4.64 × 10 ⁻¹	7.69 × 10 ⁻⁴	8.04 × 10 ⁻¹	3.29 × 10 ⁻³	0.00 × 10 ⁰	fixed	2.95 × 10 ⁻¹	1.44 × 10 ⁻³	2.49 × 10 ⁻¹	2.35 × 10 ⁻²	6.13 × 10 ⁻⁴	3.89 × 10 ⁻¹	3.79 × 10 ⁻²	1.05 × 10 ⁻⁴	9.63 × 10 ⁻⁶	1.05 × 10 ⁻⁵	5.90 × 10 ⁻⁷	0.99996		
5.5	4.22 × 10 ⁻¹	5.80 × 10 ⁻⁴	8.23 × 10 ⁻¹	3.20 × 10 ⁻³	0.00 × 10 ⁰	fixed	1.64 × 10 ⁻¹	7.73 × 10 ⁻⁴	1.41 × 10 ⁻¹	2.01 × 10 ⁻²	4.46 × 10 ⁻⁴	2.34 × 10 ⁻¹	4.19 × 10 ⁻²	9.13 × 10 ⁻⁵	6.83 × 10 ⁻⁶	9.13 × 10 ⁻⁵	7.44 × 10 ⁻⁷	0.99995		
6.0	3.89 × 10 ⁻¹	3.68 × 10 ⁻⁴	8.43 × 10 ⁻¹	2.39 × 10 ⁻³	0.00 × 10 ⁰	fixed	9.63 × 10 ⁻²	3.26 × 10 ⁻⁴	8.42 × 10 ⁻²	1.81 × 10 ⁻²	2.94 × 10 ⁻⁴	1.62 × 10 ⁻¹	3.37 × 10 ⁻²	7.80 × 10 ⁻⁵	4.17 × 10 ⁻⁶	7.80 × 10 ⁻⁵	3.46 × 10 ⁻⁷	0.99998		
6.5	3.60 × 10 ⁻¹	3.46 × 10 ⁻⁴	8.61 × 10 ⁻¹	2.50 × 10 ⁻³	0.00 × 10 ⁰	fixed	5.92 × 10 ⁻²	1.96 × 10 ⁻⁴	5.26 × 10 ⁻²	1.70 × 10 ⁻²	2.93 × 10 ⁻⁴	1.46 × 10 ⁻¹	3.45 × 10 ⁻²	7.42 × 10 ⁻⁵	3.81 × 10 ⁻⁶	7.42 × 10 ⁻⁵	2.79 × 10 ⁻⁷	0.99998		
7.0	3.35 × 10 ⁻¹	2.79 × 10 ⁻⁴	8.70 × 10 ⁻¹	2.21 × 10 ⁻³	0.00 × 10 ⁰	fixed	3.84 × 10 ⁻²	1.10 × 10 ⁻⁴	3.40 × 10 ⁻²	1.55 × 10 ⁻²	2.42 × 10 ⁻⁴	9.28 × 10 ⁻²	3.20 × 10 ⁻²	6.85 × 10 ⁻⁵	2.98 × 10 ⁻⁶	6.85 × 10 ⁻⁵	1.79 × 10 ⁻⁷	0.99999		
7.5	3.13 × 10 ⁻¹	6.40 × 10 ⁻⁴	8.84 × 10 ⁻¹	5.63 × 10 ⁻³	0.00 × 10 ⁰	fixed	2.57 × 10 ⁻²	1.80 × 10 ⁻⁴	2.33 × 10 ⁻²	1.50 × 10 ⁻²	5.66 × 10 ⁻⁴	0.00 × 10 ⁰	5.80 × 10 ⁻²	9.80 × 10 ⁻⁵	6.82 × 10 ⁻⁶	9.80 × 10 ⁻⁵	9.20 × 10 ⁻⁷	0.99993		
8.0	2.93 × 10 ⁻¹	4.34 × 10 ⁻⁴	8.97 × 10 ⁻¹	4.69 × 10 ⁻³	0.00 × 10 ⁰	fixed	1.79 × 10 ⁻²	1.10 × 10 ⁻⁴	1.64 × 10 ⁻²	1.49 × 10 ⁻²	3.60 × 10 ⁻⁴	0.00 × 10 ⁰	fixed	9.42 × 10 ⁻⁵	6.15 × 10 ⁻⁶	9.42 × 10 ⁻⁵	7.40 × 10 ⁻⁷	0.99994		
8.5	2.76 × 10 ⁻¹	4.52 × 10 ⁻⁴	9.02 × 10 ⁻¹	5.09 × 10 ⁻³	0.00 × 10 ⁰	fixed	1.29 × 10 ⁻²	8.23 × 10 ⁻⁵	1.19 × 10 ⁻²	1.42 × 10 ⁻²	3.91 × 10 ⁻⁴	0.00 × 10 ⁰	fixed	1.02 × 10 ⁻⁵	6.53 × 10 ⁻⁶	1.02 × 10 ⁻⁵	6.53 × 10 ⁻⁷	0.99994		
9.0	2.62 × 10 ⁻¹	2.95 × 10 ⁻⁴	9.06 × 10 ⁻¹	3.52 × 10 ⁻³	0.00 × 10 ⁰	fixed	9.51 × 10 ⁻³	4.15 × 10 ⁻⁵	8.80 × 10 ⁻³	1.28 × 10 ⁻²	2.58 × 10 ⁻⁴	0.00 × 10 ⁰	fixed	7.65 × 10 ⁻⁵	4.07 × 10 ⁻⁶	7.65 × 10 ⁻⁵	2.69 × 10 ⁻⁷	0.99997		
9.5	2.48 × 10 ⁻¹	3.48 × 10 ⁻⁴	9.10 × 10 ⁻¹	4.32 × 10 ⁻³	0.00 × 10 ⁰	fixed	7.18 × 10 ⁻³	3.70 × 10 ⁻⁵	6.67 × 10 ⁻³	1.24 × 10 ⁻²	3.12 × 10 ⁻⁴	0.00 × 10 ⁰	fixed	7.21 × 10 ⁻⁵	4.60 × 10 ⁻⁶	7.21 × 10 ⁻⁵	3.18 × 10 ⁻⁷	0.99997		
10	2.35 × 10 ⁻¹	6.42 × 10 ⁻⁴	9.24 × 10 ⁻¹	7.97 × 10 ⁻³	0.00 × 10 ⁰	fixed	5.49 × 10 ⁻³	4.82 × 10 ⁻⁵	5.16 × 10 ⁻³	1.31 × 10 ⁻²	5.96 × 10 ⁻⁴	0.00 × 10 ⁰	fixed	9.50 × 10 ⁻⁵	7.94 × 10 ⁻⁶	9.50 × 10 ⁻⁵	7.02 × 10 ⁻⁷	0.99992		
11	2.16 × 10 ⁻¹	3.85 × 10 ⁻⁴	9.21 × 10 ⁻¹	5.04 × 10 ⁻³	0.00 × 10 ⁰	fixed	3.45 × 10 ⁻³	1.95 × 10 ⁻⁵	3.24 × 10 ⁻³	1.07 × 10 ⁻²	3.43 × 10 ⁻⁴	0.00 × 10 ⁰	fixed	4.60 × 10 ⁻⁵	4.30 × 10 ⁻⁶	4.60 × 10 ⁻⁵	2.29 × 10 ⁻⁷	0.99996		
12	1.95 × 10 ⁻¹	1.06 × 10 ⁻³	9.66 × 10 ⁻¹	1.35 × 10 ⁻²	0.00 × 10 ⁰	fixed	2.19 × 10 ⁻³	2.63 × 10 ⁻⁵	2.13 × 10 ⁻³	1.36 × 10 ⁻²	1.01 × 10 ⁻³	0.00 × 10 ⁰	fixed	9.41 × 10 ⁻⁵	8.31 × 10 ⁻⁶	9.41 × 10 ⁻⁵	5.25 × 10 ⁻⁷	0.99991		
13	1.78 × 10 ⁻¹	6.37 × 10 ⁻⁴	1.00 × 10 ⁰	fixed	0.00 × 10 ⁰	fixed	1.45 × 10 ⁻³	1.11 × 10 ⁻⁵	1.45 × 10 ⁻³	1.03 × 10 ⁻²	4.09 × 10 ⁻⁴	0.00 × 10 ⁰	fixed	5.74 × 10 ⁻⁶	1.71 × 10 ⁻⁶	5.74 × 10 ⁻⁶	2.71 × 10 ⁻⁶	0.99918		
14	1.67 × 10 ⁻¹	3.93 × 10 ⁻⁴	1.00 × 10 ⁰	fixed	0.00 × 10 ⁰	fixed	1.04 × 10 ⁻³	5.40 × 10 ⁻⁶	1.04 × 10 ⁻³	9.89 × 10 ⁻³	2.73 × 10 ⁻⁴	0.00 × 10 ⁰	fixed	5.57 × 10 ⁻⁶	1.13 × 10 ⁻⁶	5.57 × 10 ⁻⁶	1.10 × 10 ⁻⁶	0.99965		
15	1.55 × 10 ⁻¹	4.45 × 10 ⁻⁴	1.00 × 10 ⁰	fixed	0.00 × 10 ⁰	fixed	7.59 × 10 ⁻⁴	4.84 × 10 ⁻⁶	7.59 × 10 ⁻⁴	9.56 × 10 ⁻³	3.31 × 10 ⁻⁴	0.00 × 10 ⁰	fixed	5.61 × 10 ⁻⁶	1.35 × 10 ⁻⁶	5.61 × 10 ⁻⁶	1.44 × 10 ⁻⁶	0.99952		
16	1.46 × 10 ⁻¹	4.41 × 10 ⁻⁴	1.00 × 10 ⁰	fixed	0.00 × 10 ⁰	fixed	5.68 × 10 ⁻⁴	3.85 × 10 ⁻⁶	5.68 × 10 ⁻⁴	9.29 × 10 ⁻³	3.47 × 10 ⁻⁴	0.00 × 10 ⁰	fixed	5.67 × 10 ⁻⁶	1.39 × 10 ⁻⁶	5.67 × 10 ⁻⁶	1.40 × 10 ⁻⁶	0.99950		
17	1.37 × 10 ⁻¹	5.96 × 10 ⁻⁴	1.00 × 10 ⁰	fixed	0.00 × 10 ⁰	fixed	4.25 × 10 ⁻⁴	4.11 × 10 ⁻⁶	4.25 × 10 ⁻⁴	9.11 × 10 ⁻³	4.94 × 10 ⁻⁴	0.00 × 10 ⁰	fixed	5.79 × 10 ⁻⁶	1.92 × 10 ⁻⁶	5.79 × 10 ⁻⁶	2.46 × 10 ⁻⁶	0.99907		
18	1.29 × 10 ⁻¹	7.12 × 10 ⁻⁴	1.00 × 10 ⁰	fixed	0.00 × 10 ⁰	fixed	3.18 × 10 ⁻⁴	3.85 × 10 ⁻⁶	3.18 × 10 ⁻⁴	8.73 × 10 ⁻³	6.19 × 10 ⁻⁴	0.00 × 10 ⁰	fixed	5.75 × 10 ⁻⁶	2.36 × 10 ⁻⁶	5.75 × 10 ⁻⁶	3.25 × 10 ⁻⁶	0.99867		
19	1.23 × 10 ⁻¹	4.28 × 10 ⁻⁴	1.00 × 10 ⁰	fixed	0.00 × 10 ⁰	fixed	2.39 × 10 ⁻⁴	1.77 × 10 ⁻⁶	2.39 × 10 ⁻⁴	9.18 × 10 ⁻³	3.90 × 10 ⁻⁴	0.00 × 10 ⁰	fixed	6.41 × 10 ⁻⁶	1.33 × 10 ⁻⁶	6.41 × 10 ⁻⁶	1.01 × 10 ⁻⁶	0.99957		
20	1.16 × 10 ⁻¹	4.72 × 10 ⁻⁴	1.00 × 10 ⁰	fixed	0.00 × 10 ⁰	fixed	1.75 × 10 ⁻⁴	1.39 × 10 ⁻⁶	1.75 × 10 ⁻⁴	9.80 × 10 ⁻³	4.54 × 10 ⁻⁴	0.00 × 10 ⁰	fixed	8.10 × 10 ⁻⁶	1.34 × 10 ⁻⁶	8.10 × 10 ⁻⁶	8.76 × 10 ⁻⁷	0.99960		
21	1.08 × 10 ⁻¹	6.66 × 10 ⁻⁴	1.00 × 10 ⁰	fixed	0.00 × 10 ⁰	fixed	1.25 × 10 ⁻⁴	1.25 × 10 ⁻⁶	1.25 × 10 ⁻⁴	1.10 × 10 ⁻²	6.67 × 10 ⁻⁴	0.00 × 10 ⁰	fixed	1.04 × 10 ⁻⁵	1.53 × 10 ⁻⁶	1.04 × 10 ⁻⁵	8.84 × 10 ⁻⁷	0.99957		
22	9.98 × 10 ⁻²	1.09 × 10 ⁻³	1.00 × 10 ⁰	fixed	0.00 × 10 ⁰	fixed	9.21 × 10 ⁻⁵	1.22 × 10 ⁻⁶	9.21 × 10 ⁻⁵	1.54 × 10 ⁻²	1.11 × 10 ⁻³	0.00 × 10 ⁰	fixed	1.36 × 10 ⁻⁵	1.50 × 10 ⁻⁶	1.36 × 10 ⁻⁵	7.58 × 10 ⁻⁷	0.99962		
23	8.77 × 10 ⁻²	3.45 × 10 ⁻³	1.00 × 10 ⁰	fixed	0.00 × 10 ⁰	fixed	6.63 × 10 ⁻⁵	2.21 × 10 ⁻⁶	6.63 × 10 ⁻⁵	2.23 × 10 ⁻²	3.49 × 10 ⁻³	0.00 × 10 ⁰	fixed	1.54 × 10 ⁻⁵	2.46 × 10 ⁻⁶	1.54 × 10 ⁻⁵	1.74 × 10 ⁻⁶	0.99909		
24	7.30 × 10 ⁻²	5.36 × 10 ⁻³	1.00 × 10 ⁰	fixed	0.00 × 10 ⁰	fixed	4.87 × 10 ⁻⁵	2.28 × 10 ⁻⁶	4.87 × 10 ⁻⁵	3.24 × 10 ⁻²	5.40 × 10 ⁻³	0.00 × 10 ⁰	fixed	1.49 × 10 ⁻⁵	1.94 × 10 ⁻⁶	1.49 × 10 ⁻⁵	1.13 × 10 ⁻⁶	0.99939		
25	5.80 × 10 ⁻²	8.70 × 10 ⁻³	1.00 × 10 ⁰	fixed	0.00 × 10 ⁰	fixed	3.65 × 10 ⁻⁵	2.87 × 10 ⁻⁶	3.65 × 10 ⁻⁵	4.34 × 10 ⁻²	8.73 × 10 ⁻³	0.00 × 10 ⁰	fixed	1.29 × 10 ⁻⁵	1.76 × 10 ⁻⁶	1.29 × 10 ⁻⁵	1			

Table S8. Summary of the parameters obtained for **2-C_{0.1}Zn_{0.9}** without external magnetic field from two relaxation time Havriliak-Negami model. X_{adia} was fixed to zero, and β was fixed to 1 to avoid overparameterisation.

T (K)	First peak										Reduced Chi-Sqr	Adj. R-Square	
	χ_{iso} (cm ³ ·mol ⁻¹)	β	β	α	α	τ (s)	τ (s)						
	Value	Standard error	Value	Standard error	Value	Standard error	Value	Standard error	Value	Standard error	$\tau_{\text{corrected}}$ (s)		
1.85	1.51×10^{-3}	3.59×10^{-4}	1.20×10^{-1}	2.93×10^{-2}	0.69	2.35×10^{-1}	5.54×10^{-1}	1.24×10^{-1}	2.12×10^1	8.62×10^0	9.56×10^0	1.23×10^{-7}	0.99884
2.15	1.24×10^{-3}	2.74×10^{-4}	1.05×10^{-1}	2.68×10^{-2}	0.61	2.02×10^{-1}	5.03×10^{-1}	1.39×10^{-1}	2.52×10^1	1.35×10^1	9.91×10^0	8.76×10^{-8}	0.99891
2.5	9.26×10^{-4}	1.72×10^{-4}	8.92×10^{-1}	2.34×10^{-2}	0.43	1.34×10^{-1}	3.17×10^{-1}	1.93×10^{-1}	2.68×10^1	2.03×10^1	8.85×10^0	5.46×10^{-8}	0.99915
2.8	1.15×10^{-3}	1.05×10^{-4}	7.42×10^{-1}	1.62×10^{-2}	0.31	7.83×10^{-2}	0.00×10^0	2.38×10^{-1}	1.59×10^1	1.04×10^1	6.23×10^0	4.00×10^{-8}	0.99930
3.15	1.66×10^{-3}	9.58×10^{-5}	7.16×10^{-2}	1.00×10^{-2}	0.35	5.91×10^{-2}	0.00×10^0	1.56×10^{-1}	1.04×10^1	3.70×10^0	4.52×10^0	4.70×10^{-8}	0.99918
3.5	2.13×10^{-3}	1.14×10^{-4}	5.99×10^{-2}	3.34×10^{-3}	0.41	3.70×10^{-2}	0.00×10^0	7.71×10^{-2}	4.12×10^0	4.15×10^{-1}	2.01×10^0	9.41×10^{-8}	0.99854
4.0	2.41×10^{-3}	1.11×10^{-4}	4.99×10^{-2}	8.15×10^{-4}	0.49	2.20×10^{-2}	0.00×10^0	3.07×10^{-2}	1.42×10^0	3.78×10^{-2}	8.04×10^{-1}	1.28×10^{-7}	0.99851
4.5	2.30×10^{-3}	9.84×10^{-5}	4.35×10^{-2}	3.28×10^{-4}	0.55	1.72×10^{-2}	0.00×10^0	1.75×10^{-2}	6.29×10^{-1}	1.66×10^{-2}	3.94×10^{-1}	1.13×10^{-7}	0.99890
5.0	2.16×10^{-3}	9.70×10^{-5}	3.91×10^{-2}	2.08×10^{-4}	0.60	1.67×10^{-2}	0.00×10^0	1.39×10^{-2}	3.18×10^{-1}	8.83×10^{-3}	2.11×10^{-1}	1.07×10^{-7}	0.99906
5.5	1.95×10^{-3}	8.27×10^{-5}	3.56×10^{-2}	1.39×10^{-4}	0.64	1.51×10^{-2}	0.00×10^0	1.07×10^{-2}	1.73×10^{-1}	4.32×10^{-3}	1.21×10^{-1}	7.51×10^{-8}	0.99935
6.0	1.70×10^{-3}	9.03×10^{-5}	3.27×10^{-2}	1.29×10^{-4}	0.66	1.69×10^{-2}	0.00×10^0	1.09×10^{-2}	1.02×10^{-1}	2.86×10^{-3}	7.36×10^{-2}	7.96×10^{-8}	0.99930
6.5	1.53×10^{-3}	7.92×10^{-5}	3.03×10^{-2}	1.03×10^{-4}	0.69	1.57×10^{-2}	0.00×10^0	9.14×10^{-3}	6.28×10^{-2}	1.59×10^{-3}	4.68×10^{-2}	5.61×10^{-8}	0.99948
7.0	1.36×10^{-3}	6.05×10^{-5}	2.82×10^{-2}	7.35×10^{-5}	0.72	1.28×10^{-2}	0.00×10^0	6.78×10^{-3}	4.01×10^{-2}	8.00×10^{-4}	3.09×10^{-2}	3.00×10^{-8}	0.99971
7.5	1.32×10^{-3}	5.20×10^{-5}	2.63×10^{-2}	6.07×10^{-5}	0.76	1.21×10^{-2}	0.00×10^0	5.74×10^{-3}	2.60×10^{-2}	4.67×10^{-4}	2.11×10^{-2}	2.10×10^{-8}	0.99978
8.0	9.81×10^{-4}	5.78×10^{-5}	2.49×10^{-2}	6.59×10^{-5}	0.74	1.35×10^{-2}	0.00×10^0	6.62×10^{-3}	1.91×10^{-2}	3.94×10^{-4}	1.51×10^{-2}	2.49×10^{-8}	0.99971
8.5	8.24×10^{-4}	5.98×10^{-5}	2.35×10^{-2}	6.58×10^{-5}	0.75	1.42×10^{-2}	0.00×10^0	6.68×10^{-3}	1.38×10^{-2}	2.95×10^{-4}	1.09×10^{-2}	2.33×10^{-8}	0.99971
9.0	6.66×10^{-4}	6.53×10^{-5}	2.23×10^{-2}	6.97×10^{-5}	0.74	1.54×10^{-2}	0.00×10^0	7.07×10^{-3}	1.03×10^{-2}	2.39×10^{-4}	8.16×10^{-3}	2.36×10^{-8}	0.99968
9.5	7.22×10^{-4}	4.72×10^{-5}	2.10×10^{-2}	5.01×10^{-5}	0.80	1.25×10^{-2}	0.00×10^0	5.14×10^{-3}	7.31×10^{-3}	1.29×10^{-4}	6.13×10^{-3}	1.22×10^{-8}	0.99982
10	5.10×10^{-4}	5.03×10^{-5}	2.01×10^{-2}	5.21×10^{-5}	0.79	1.29×10^{-2}	0.00×10^0	5.24×10^{-3}	5.75×10^{-3}	1.06×10^{-4}	4.76×10^{-3}	1.14×10^{-8}	0.99982
11	1.22×10^{-4}	1.04×10^{-4}	1.86×10^{-2}	1.06×10^{-6}	0.75	2.53×10^{-2}	0.00×10^0	1.08×10^{-2}	3.78×10^{-3}	1.37×10^{-4}	3.01×10^{-3}	3.07×10^{-8}	0.99930
12	1.61×10^{-4}	4.20×10^{-5}	1.70×10^{-2}	4.18×10^{-5}	0.80	1.12×10^{-2}	0.00×10^0	4.12×10^{-3}	2.33×10^{-3}	3.49×10^{-5}	1.96×10^{-3}	4.12×10^{-9}	0.99990
13	0.00×10^0	7.52×10^{-5}	1.57×10^{-2}	7.34×10^{-5}	0.80	1.92×10^{-2}	0.00×10^0	6.50×10^{-3}	1.54×10^{-3}	3.88×10^{-5}	1.28×10^{-3}	8.58×10^{-9}	0.99975
14	0.00×10^0	8.08×10^{-5}	1.46×10^{-2}	7.84×10^{-5}	0.81	2.09×10^{-2}	0.00×10^0	6.32×10^{-3}	1.08×10^{-3}	2.84×10^{-5}	9.13×10^{-4}	7.03×10^{-9}	0.99978
15	0.00×10^0	8.70×10^{-5}	1.37×10^{-2}	8.44×10^{-5}	0.88	2.50×10^{-2}	1.13×10^{-2}	6.16×10^{-3}	7.24×10^{-4}	2.11×10^{-5}	6.53×10^{-4}	5.99×10^{-9}	0.99979
16	0.00×10^0	3.14×10^{-4}	1.30×10^{-2}	3.05×10^{-4}	0.82	7.64×10^{-2}	2.72×10^{-3}	1.85×10^{-2}	5.80×10^{-4}	5.26×10^{-5}	4.94×10^{-4}	4.24×10^{-8}	0.99835
17	0.00×10^0	fixed	1.21×10^{-2}	3.31×10^{-5}	1.00	3.89×10^{-2}	3.47×10^{-2}	1.16×10^{-2}	3.35×10^{-4}	1.65×10^{-5}	3.35×10^{-4}	2.26×10^{-8}	0.99903
18	0.00×10^0	fixed	1.14×10^{-2}	1.76×10^{-5}	1.00	fixed	2.58×10^{-2}	3.27×10^{-3}	2.78×10^{-4}	1.53×10^{-6}	2.78×10^{-4}	7.58×10^{-9}	0.99965
19	0.00×10^0	fixed	1.08×10^{-2}	1.86×10^{-5}	1.00	fixed	9.43×10^{-3}	3.88×10^{-3}	2.15×10^{-4}	1.36×10^{-6}	2.15×10^{-4}	8.95×10^{-9}	0.99956
20	0.00×10^0	fixed	1.02×10^{-2}	1.48×10^{-5}	1.00	fixed	1.03×10^{-2}	3.54×10^{-3}	1.65×10^{-4}	9.44×10^{-7}	1.65×10^{-4}	5.85×10^{-9}	0.99969
22	0.00×10^0	fixed	9.30×10^{-3}	2.09×10^{-5}	1.00	fixed	1.14×10^{-2}	5.85×10^{-3}	9.48×10^{-5}	8.49×10^{-7}	9.48×10^{-5}	7.10×10^{-9}	0.99954
24	0.00×10^0	fixed	8.57×10^{-3}	2.09×10^{-5}	1.00	fixed	7.34×10^{-3}	8.98×10^{-3}	5.80×10^{-5}	8.77×10^{-7}	5.80×10^{-5}	7.44×10^{-9}	0.99949
26	0.00×10^0	fixed	7.88×10^{-3}	1.73×10^{-5}	1.00	fixed	1.51×10^{-2}	1.33×10^{-2}	3.21×10^{-5}	8.86×10^{-7}	3.21×10^{-5}	5.12×10^{-9}	0.99963
28	0.00×10^0	fixed	7.34×10^{-3}	1.63×10^{-5}	1.00	fixed	6.44×10^{-2}	2.24×10^{-2}	1.66×10^{-5}	1.02×10^{-6}	1.66×10^{-5}	4.35×10^{-9}	0.99965
30	0.00×10^0	fixed	6.87×10^{-3}	1.46×10^{-5}	1.00	fixed	1.28×10^{-1}	3.32×10^{-2}	8.31×10^{-6}	9.97×10^{-7}	8.31×10^{-6}	3.21×10^{-9}	0.99972

